

用触針下分布电阻的光电导衰退来 测量半导体中少数載流子的寿命^{*1)}

王守武

提 要

本文提出了一种新的测量半导体材料中少数載流子寿命的方法。这方法是测量触針下分布电阻的光电导衰退。这方法具有下列优点：(1)样品不需要切成一定形状；(2)在样品上不需要做固定电极；(3)可以檢驗不均匀的材料；(4)不需要一定的表面处理；(5)仪器简单，操作方便；(6)有一定的准确度。文中对表面复合速度以及光綫在样品中的吸收深度的影响进行了理論分析；同时对 Ge 和 Si 样品的实验数据进行了討論。用这方法測得的寿命基本上与其他方法的结果符合。

一、引 言

半导体材料中少数載流子的寿命，不仅从应用的观点，特别是从晶体管的設計理論来看，是一个十分重要的参数；而且从半导体物理的基础理論的观点来看，它也是一个具有重要意义参数。关于测量少数載流子寿命的方法，文献中記載很多。本文的目的是要寻找一种适合于經常性材料檢驗工作作用的测量少数載流子寿命的方法。这方法要求操作方便，分析简单，并能檢驗不均匀材料局部地方的少数載流子寿命。目前常用的测量寿命的方法，一般說来，大致上可以分为两类。第一类可称为定态法，或称間接法。这类方法是使半导体材料中多余少数載流子的分布达到稳定状态，然后测量半导体材料的某些参数，从而推算得到少数載流子的寿命。定态光电导法^[1]和光磁效应法測寿命^[2]都是这类方法的典型范例。这类方法的缺点是：在推算少数載流子寿命的过程中都必须知道半导体材料的其他一些参数，而这些参数往往也随着样品的条件不同而不同。因此，这类方法的准确度較差，但是它們的优点是可以測很短的寿命。第二类方法可以称为瞬态法，或称直接法²⁾。这类方法是直接观察半导体材料中多余少数載流子的衰減过程；本文中提出的新方法是属于这类型的。

在提出新方法之前，我們將首先回顾一下瞬态法測寿命中所必須解决的几个問題。在瞬态法中要考虑的最关键的两个問題是：(一)我們用什么方法使样品中引进多余的少

* 1962年6月18日收到。

1) 在电子学会第一屆年会上宣讀。

2) 有一些测量寿命的方法，不能很好地归入上述两类的测量方法。例如用光注射測扩散长度的方法^[3]，这方法基本上属于定态法，但是它不要求测量材料的某些参数，而直接檢查多余少数載流子在空間的分布情况。又如測光电流相移的方法^[4]，这方法中少数載流子密度的变化过程既不是不变的稳定态，也不是一个瞬变过程，而是在一定交变頻率下的稳定态。因此，这种方法不能列入上述两类方法中的任何一类，但是就其测量裝置的性质而言，比較接近于瞬态法。

少数載流子。(二)过了一定的時間以后,我們用什么方法来檢驗样品中还剩多少多余的少数載流子。对第一个問題的答案,我們常用的方法有下列三种:1.光注射;2.点接触注射;3.面接触(或 $p-n$ 結)注射。对第二个問題的答案,我們常用的方法也有三种:1.測量点接触下面的浮空电势;2.測量整块样品的电阻;3.測量点接触下面的分布电阻。上述2,3两种方法里,测电阻用的电流可以是直流或一个脉冲电流。表1中将常用的几种測量少数載流子寿命的方法,根据其注射及檢驗少数載流子的方法分类列出。

表 1

檢驗方法		注射方法		
		光注射	点接触注射	面注射
測量点接触下面的浮空电势		光注射测扩散长度法 ^[3]		
測量整块样品的电阻	用直流	光电导衰减法 ^[5]		Navon, Bray 和范氏法 ^[7] 孟氏电桥法 ^[8]
	用脉冲电流			
測量点接触下面的分布电阻	用直流			
	用脉冲电流		双脉冲法 ^[6]	

在进一步提出新的測量方法时,我們將首先討論一下,对注射和檢驗少数載流子的方法應該提出什么要求。在一块样品中,某一地点多余少数載流子密度的衰減可以由三种因素引起:1.少数載流子的复合;2.少数載流子的扩散;3.由电場引起的少数載流子的漂移。为了使多余少数載流子密度的衰減常数直接代表寿命,必須使上述2,3两种因素的作用減低到最小。換句話說,我們要求在注射少数載流子时密度要均匀,在檢驗少数載流子的过程中不加長時間的电場。此外,作为一个經常性材料檢驗工作中用的測量寿命的方法,應該考虑到使样品易于准备,不應該对表面处理有太严格的要求。对檢驗少数

表 2

要求 注射方法	少数載流子密度均匀	样品易于准备	对表面处理沒有太严格要求
光注射	滿 足	滿 足	滿 足
点接触注射	不 滿 足	滿 足	不 滿 足
面注射	大 致 滿 足	不 滿 足	不 滿 足

表 3

要 求 檢驗方法		沒有長時間 的电場	样品易于准备	对表面处理沒 有太严格要求	較高的灵敏度	能檢查局部 地 区
測量点接触下面的浮空电势		滿 足	滿 足	不 滿 足	不 滿 足	滿 足
測量整块样品的 电阻	用 直 流	不 滿 足	不 滿 足	滿 足	滿 足	不 滿 足
	用 脉 冲 电 流	不 滿 足	不 滿 足	滿 足	滿 足	不 滿 足
測量点接触下 面的分布电阻	用 直 流	不 滿 足	滿 足	滿 足	滿 足	滿 足
	用 脉 冲 电 流	不 滿 足	滿 足	滿 足	滿 足	滿 足

載流子的方法來說，我們應該要求它有較高的靈敏度，而且能檢查局部地區的少數載流子。表 2 和表 3 中列出了各種注射和檢驗少數載流子的方法對上述各項要求的滿足程度。從這兩張表中可以看出，要全部滿足上面所提的各項要求，我們採用的注射方法應該是光注射，檢驗方法應該是用脈沖電流測量點接觸下面的分布電阻，這也就是我們提出新方法的根據。

二、理論分析

為了計算方便，我們用少數載流子的擴散長度 L 作為長度的單位，用少數載流子的壽命作為時間的單位。以 ξ 表示距離的變數， t 表示時間的變數，則樣品內少數載流子濃度 n 應該滿足下列方程

$$\frac{\partial n}{\partial t} = F e^{-\alpha \xi} - n + \frac{\partial^2 n}{\partial \xi^2}, \quad (1)$$

這裡假設光綫照射於 $\xi = 0$ 的平面上，而 $F e^{-\alpha \xi}$ 這一項代表由光照而產生的少數載流子，其中

$$F = I \beta \kappa \tau, \\ \alpha = \kappa L,$$

I = 每秒內每單位面積上樣品吸收的光子（這裡假定是單色光）總數，它可以是時間的函數，

$$\beta = \text{量子產額}, \\ \kappa = \text{樣品對入射光的吸收係數}, \\ \tau = \text{少數載流子的壽命}.$$

在解方程(1)時，我們採用了拉氏變換，用下面的符號：

$$\overline{n(\sigma)} = \int_0^{\infty} e^{-\sigma t} n(t) dt. \quad (2)$$

如果我們假設用的是脈沖光源，即

$$F = F_0 \delta(t),$$

則(1)式可以寫成

$$\frac{d^2(\overline{ne^t})}{d\xi^2} = \sigma(\overline{ne^t}) - F_0 e^{-\alpha \xi}, \quad (3)$$

上式的通解是：

$$\overline{ne^t} = A e^{-\sqrt{\sigma} \xi} + B e^{\sqrt{\sigma} \xi} - \frac{F_0 e^{-\alpha \xi}}{\alpha^2 - \sigma}. \quad (4)$$

現在假設所用樣品為半無窮大，而光照樣品表面的表面復合速度為 s ，則邊界條件應為

$$\frac{\partial n}{\partial \xi} - S_0 n = 0, \quad (\xi = 0), \quad (5)$$

$$n = 0, \quad (\xi \rightarrow \infty), \quad (6)$$

其中

$$S_0 = \frac{s\tau}{L}. \quad (7)$$

将上述两个边界条件代入(4)式, 不难得到

$$\overline{ne^t} = \frac{F_0}{\sigma - \alpha^2} \left[e^{-\alpha t} - \frac{\alpha + S_0}{\sqrt{\sigma} + S_0} e^{-\sqrt{\sigma} t} \right]. \quad (8)$$

经过反拉氏变换, 我們得到

$$ne^t = \frac{1}{2} F_0 e^{-\frac{\xi^2}{4t}} \left[G \left(\alpha t^{\frac{1}{2}} - \frac{1}{2} \xi t^{-\frac{1}{2}} \right) + \frac{\alpha + S_0}{\alpha - S_0} G \left(\alpha t^{\frac{1}{2}} + \frac{1}{2} \xi t^{-\frac{1}{2}} \right) - \frac{2S_0}{\alpha - S_0} G \left(S_0 t^{\frac{1}{2}} + \frac{1}{2} \xi t^{-\frac{1}{2}} \right) \right], \quad (9)$$

其中

$$G(Z) = e^{Z^2} \operatorname{erfc}(Z), \quad (10)$$

在两种极端情形下, $G(Z)$ 可以展开为

$$G(Z) = \begin{cases} 1 - \frac{2}{\sqrt{\pi}} Z + Z^2 - \dots, & (Z \ll 1), \\ \frac{1}{\sqrt{\pi}} \left(Z^{-1} - \frac{1}{2} Z^{-3} + \dots \right), & (Z \gg 1). \end{cases} \quad (11)$$

图 1 中表示了 $G(Z)$ 对 Z 的依赖关系。从图中可以看出, $G(Z)$ 随 Z 的变化要比 $\frac{1}{\sqrt{\pi}} Z^{-1}$ 来得缓慢。

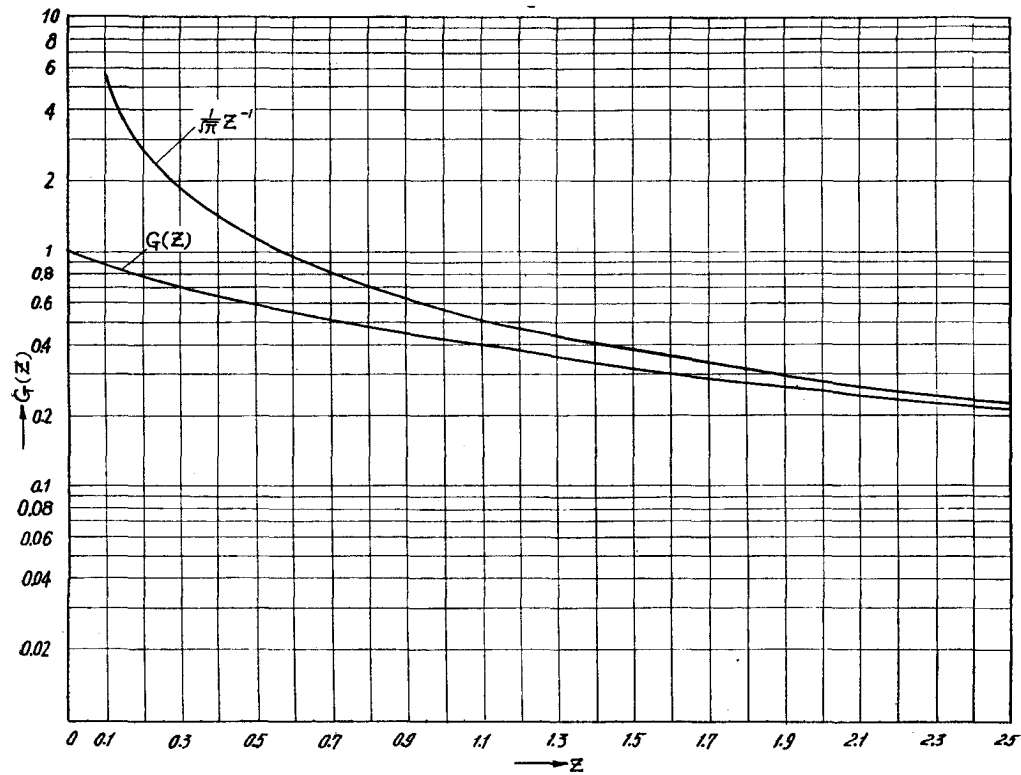


图 1

在进一步计算点接触下面的分布电阻时, 我們应该注意到由于多余少数载流子的存在, 样品各处的电阻率已经不再是均匀的, 因而在触针下面的电压等位面已经不是球面, 准确的解答应该从电流的连续方程来求得. 但是, 在多余少数载流子的浓度比多数载流子的浓度小得多的情况下, 电压等位面的形状与球面相差不远. 因此, 在小讯号的情况下, 我們可以先将样品的电导率在球面上求平均值, 然后再积分得到总的分布电阻. 我們得到

$$\sigma(r) = \int_0^{\frac{\pi}{2}} (nq\mu_n + pq\mu_p) \sin\theta d\theta, \quad (12)$$

$$R = \int_{r_0}^{\infty} \frac{dr}{2\pi r^2 \sigma(r)}, \quad (13)$$

这里 $\sigma(r)$ 是半径为 r 的半球面上的平均电导率, n 和 p 是样品中电子和空穴的浓度, μ_n 和 μ_p 是它们相应的迁移率, R 是总的分布电阻, r_0 是触针尖端的半径, q 为电子的电荷量.

为了计算方便, 我们将假设样品是 P 型的; 在没有光照时, 样品中原有空穴浓度为 p_0 , 则光照后样品中的空穴浓度:

$$p = p_0 + \Delta p \approx p_0 + n,$$

将上式代入(12)、(13)两式, 并注意到由光照而引起的样品电导率的改变是很小的假设, 我們可以得到分布电阻的改变量:

$$\Delta R = - \int_{r_0}^{\infty} \frac{\Delta\sigma dr}{2\pi\sigma_0^2 r^2} = - \frac{q\mu}{2\pi\sigma_0^2} \int_{r_0}^{\infty} dr \int_0^{\frac{\pi}{2}} \frac{n}{r^2} \sin\theta d\theta, \quad (14)$$

其中

$$\sigma_0 = p_0 q \mu_p \text{ 是样品无光照时的电导率,}$$

$$\mu = \mu_n + \mu_p.$$

下面分几个特殊情况来讨论.

第一种情况: $S_0 \rightarrow 0, \alpha \rightarrow 0$. 这情况相当于样品的表面复合速度非常小, 所用光源的波长很长, 对这种光来说, 样品基本上是透明的. 在这种情况下, 由(9)式很容易看到

$$ne^t = F_0, \quad (15)$$

代入(14)式得

$$\Delta R = - \frac{q\mu F_0}{2\pi\sigma_0^2 L} \left(\frac{1}{\rho} \right) e^{-t}, \quad (16)$$

其中

$$\rho = \frac{r_0}{L}.$$

第二种情况: $S_0 \rightarrow 0, \alpha \approx 0$. 这情况相当于样品的表面复合速度非常小, 所用光源的波长不很长. 在这种情况下, 由(9)式得

$$ne^t = \frac{1}{2} F_0 e^{-\frac{\xi t}{4t}} \left[G \left(\alpha t^{\frac{1}{2}} - \frac{1}{2} \xi t^{-\frac{1}{2}} \right) + G \left(\alpha t^{\frac{1}{2}} + \frac{1}{2} \xi t^{-\frac{1}{2}} \right) \right], \quad (17)$$

将上式代到(14)式中求积分时, 我們可以看到, 对 r 的积分只有在 r 相当小时有贡献. 事

实上, 由于 n 只会随 r 的增加而减少 (至多是不变), 从某一个数值 r_m 积到 ∞ 所得的值与全部积分之比将必然小于 r_0/r_m . 因此, 如果使 $r_0 \ll r_m$, 对 r 的全部积分可以看作只是从 r_0 积到 r_m . 现在我們再假设在观察的全部时间内, 下列条件是满足的:

$$at^{\frac{1}{2}} \gg \frac{1}{2} \xi_m t^{-\frac{1}{2}}, \quad (18)$$

其中 $\xi_m = \frac{r_m}{L}$. 这样, 在用(14)式来求 ΔR 的过程中, 我們可以保证:

$$|at^{\frac{1}{2}}| \gg \left| \frac{1}{2} \xi_m t^{-\frac{1}{2}} \right|,$$

这也就是说, 我們可以把(17)式中的 $\frac{1}{2} \xi_m t^{-\frac{1}{2}}$ 一項忽略掉. 由此得

$$n = F_0 e^{-\frac{\rho^2}{4t}} G(at^{\frac{1}{2}}) e^{-t}. \quad (19)$$

将上式代入(14)式, 我們不难求得

$$\Delta R = -\frac{quF_0}{4\pi\sigma_0^2 L} M(\rho, t) G(at^{\frac{1}{2}}) e^{-t}, \quad (20)$$

其中

$$M(\rho, t) = \frac{\sqrt{\pi t}}{\rho^2} \operatorname{erf}\left(\frac{\rho}{2\sqrt{t}}\right) + \frac{1}{\rho} e^{-\frac{\rho^2}{4t}} - \frac{\sqrt{\pi}}{2\sqrt{t}} \operatorname{erfc}\left(\frac{\rho}{2\sqrt{t}}\right). \quad (21)$$

图 2 中表示了 $M(\rho, t)$ 与 ρ, t 的关系. 在 $\rho \ll 1$ 的情况下, $M(\rho, t) \approx 2/\rho$ 而与 t 无关.

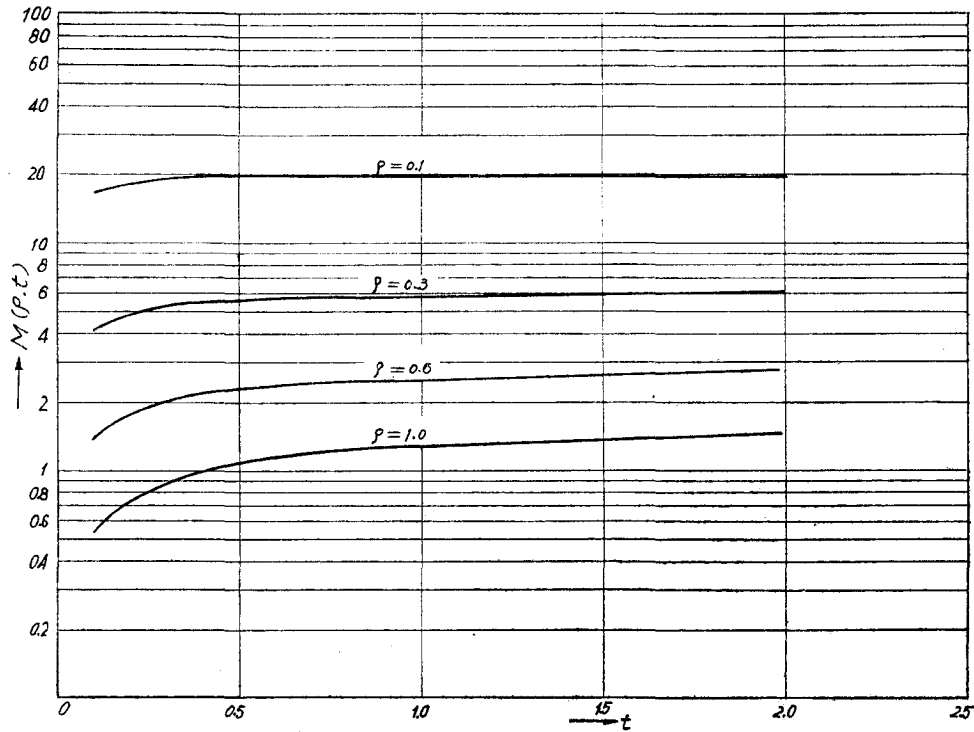


图 2

为了要满足(18)式的条件,可以有两种情况.一种是 $\xi_m \ll 1$,而 αt 只是1的数量级.这种情况是触针非常尖,样品寿命较长, r_0 比 L 小好几个数量级,这样, ξ_m 就有可能比1小得多,这时只要 t 不太小,我们就不要要求 α 很大.这种情况的 $\rho \ll 1$,因此得

$$\begin{aligned} \Delta R &= -\frac{q\mu F_0}{4\pi\sigma_0^2 L} M(\rho, t) G(\alpha t^{\frac{1}{2}}) e^{-t} \\ &\approx -\frac{q\mu F_0}{2\pi\sigma_0^2 L} \left(\frac{1}{\rho}\right) G(\alpha t^{\frac{1}{2}}) e^{-t}. \end{aligned} \quad (22)$$

如果除了 $\xi_m \ll 1$ 外,同时 $\alpha t^{\frac{1}{2}} \ll 1$,则我们可以有 $G(\alpha t^{\frac{1}{2}}) \approx 1$,因此得

$$\Delta R \approx -\frac{q\mu F_0}{2\pi\sigma_0^2 L} \left(\frac{1}{\rho}\right) e^{-t}, \quad (23)$$

这就和(16)式的结果完全相同了.

另一种情况是 ξ_m 约为1的数量级(在实际测量中,针尖的半径一般在0.1毫米的数量级,而 L 约为1毫米左右,因此 ξ_m 常常是1的数量级),这时如果 t 也是1的数量级,那末(18)式的条件就要求 $\alpha \gg 1$,同时也可以假定 $\alpha t^{\frac{1}{2}} \gg 1$,则 $G(\alpha t^{\frac{1}{2}}) \approx \frac{1}{\sqrt{\pi}} \left(\frac{1}{\alpha t^{\frac{1}{2}}}\right)$. 因此得

$$\Delta R \approx -\frac{q\mu F_0}{4\pi\sigma_0^2 L} \left(\frac{1}{\alpha\sqrt{\pi}}\right) M(\rho, t) \frac{e^{-t}}{\sqrt{t}}. \quad (24)$$

如果 $\rho \ll 1$,则得

$$\Delta R \approx -\frac{q\mu F_0}{2\pi\sqrt{\pi}\sigma_0^2 L \alpha} \left(\frac{1}{\rho}\right) \frac{e^{-t}}{\sqrt{t}}. \quad (25)$$

第三种情况: $\alpha \rightarrow 0$, $S_0 \approx 0$. 这情况相当于表面复合速度不小,而光源的波长很长.这种情况下,(9)式成为

$$ne^t = F_0 \left\{ \operatorname{erf} \left(\frac{1}{2} \xi t^{-\frac{1}{2}} \right) + e^{\frac{-\xi^2}{4t}} G \left(S_0 t^{\frac{1}{2}} + \frac{1}{2} \xi t^{-\frac{1}{2}} \right) \right\}. \quad (26)$$

将上式代到(14)式中求积分时,我们同样假定

$$S_0 t^{\frac{1}{2}} \gg \frac{1}{2} \xi_m t^{-\frac{1}{2}}, \quad (27)$$

因而得

$$\Delta R = -\frac{q\mu F_0}{2\pi\sigma_0^2 L} \left\{ N(\rho, t) + \frac{1}{2} M(\rho, t) G(S_0 t^{\frac{1}{2}}) \right\} e^{-t}, \quad (28)$$

其中

$$\begin{aligned} N(\rho, t) &= \frac{1}{\rho} \operatorname{erf} \left(\frac{\rho}{2\sqrt{t}} \right) + \frac{1}{4\sqrt{\pi t}} \int_{\frac{\rho^2}{4t}}^{\infty} \frac{e^{-x}}{x} dx - \\ &\quad - \frac{\sqrt{t}}{\rho^2 \sqrt{\pi}} \left(1 - e^{-\frac{\rho^2}{4t}} \right). \end{aligned} \quad (29)$$

图3中表示了 $N(\rho, t)$ 与 ρ, t 的关系.在 $\rho \ll 1$ 的情况下,我们近似地得到

$$N(\rho, t) \approx \left[\frac{1}{4\sqrt{\pi}} \ln \frac{4e^3}{\gamma \rho^2} \right] \frac{1}{\sqrt[3]{t}}, \quad (30)$$

其中 $\gamma = 1.781$.

为了要满足(27)式的条件, 我们同样可以分两种情况: 一种是 $\xi_m \ll 1$, 而 S_0 不一定很大. 这时(27)式就不能再化简. 如果除了 $\xi_m \ll 1$ 外, 同时 $S_0 t^{\frac{1}{2}} \ll 1$, 则由于 $G(S_0 t^{\frac{1}{2}}) \approx 1$, 我们得

$$\Delta R \approx - \frac{q\mu F_0}{2\pi\sigma_0^2 L} \left\{ N(\rho, t) + \frac{1}{2} M(\rho, t) \right\} e^{-t}. \quad (31)$$

这时又因 $\rho \ll 1$, 我们不难看出括弧号中的后一项要比前一项大得多, 同时还考虑到 $M(\rho, t)$ 的近似表达式, 我们得

$$\begin{aligned} \Delta R &\approx - \frac{q\mu F_0}{2\pi\sigma_0^2 L} \left\{ \frac{1}{2} M(\rho, t) \right\} e^{-t} \\ &\approx - \frac{q\mu F_0}{2\pi\sigma_0^2 L} \left(\frac{1}{\rho} \right) e^{-t}, \end{aligned} \quad (32)$$

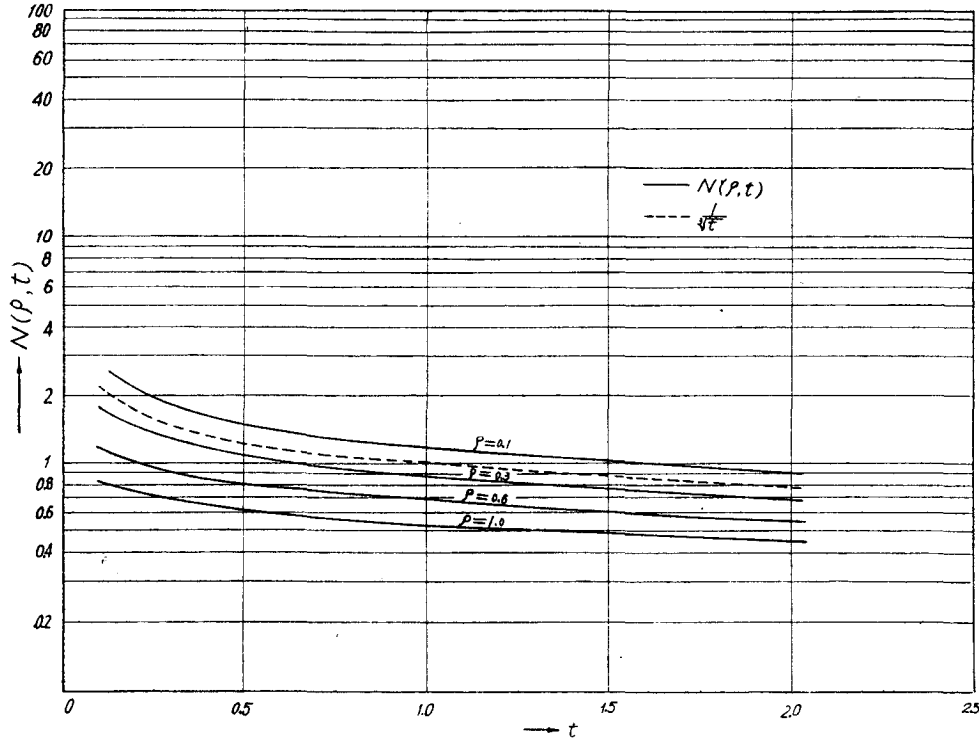


图 3

这里又得到了与(16)式相同的结果.

另一种情况是 S_0 非常大, 它除了满足(27)式的条件外, 还满足 $S_0 t^{\frac{1}{2}} \gg 1$ 的条件, 这样

$$\Delta R \approx - \frac{q\mu F_0}{2\pi\sigma_0^2 L} \left\{ N(\rho, t) + \frac{1}{2S_0 \sqrt{\pi}} \frac{M(\rho, t)}{\sqrt{t}} \right\} e^{-t}. \quad (33)$$

第四种情况: 假定 $\alpha t^{\frac{1}{2}} \gg \frac{1}{2} \xi_m t^{-\frac{1}{2}}$, $S_0 t^{\frac{1}{2}} \gg \frac{1}{2} \xi_m t^{-\frac{1}{2}}$, 则(9)式可写成

$$ne^t = \frac{F_0}{\alpha - S_0} e^{-\frac{\xi^2}{4t}} \left[\alpha G(\alpha t^{\frac{1}{2}}) - S_0 G(S_0 t^{\frac{1}{2}}) \right], \quad (34)$$

而

$$\Delta R = -\frac{q\mu F_0}{4\pi\sigma_0^2 L} \frac{\alpha G(\alpha t^{\frac{1}{2}}) - S_0 G(S_0 t^{\frac{1}{2}})}{\alpha - S_0} M(\rho, t) e^{-t}. \quad (35)$$

为了满足上面假定的两个条件, 我們还是可以分两种情况討論. 一种是 $\xi_m \ll 1$, 而 α 和 S_0 不一定很大, 这时(35)式不能再簡化. 如果除了 $\xi_m \ll 1$ 外, 同时 $\alpha t^{\frac{1}{2}} \ll 1$ 和 $S_0 t^{\frac{1}{2}} \ll 1$, 那么(35)式又变回(16)式的样子. 另一种情况是 $\alpha \gg 1$ 和 $S_0 \gg 1$, 这时我們可以假定 $\alpha t^{\frac{1}{2}} \gg 1$ 和 $S_0 t^{\frac{1}{2}} \gg 1$, 因而得

$$\Delta R \approx -\frac{q\mu F_0}{8\pi\sqrt{\pi}\sigma_0^2 L} \left(\frac{\alpha + S_0}{\alpha^2 S_0^2} \right) M(\rho, t) \frac{e^{-t}}{t^{3/2}}. \quad (36)$$

如果 $\rho \ll 1$, 則上式可成为

$$\Delta R \approx -\frac{q\mu F_0}{4\pi\sqrt{\pi}\sigma_0^2 L} \left(\frac{\alpha + S_0}{\alpha^2 S_0^2} \right) \left(\frac{1}{\rho} \right) \frac{e^{-t}}{t^{3/2}}. \quad (37)$$

从以上四种情况看, ΔR 随时间的变化基本上具有下列形式:

$$\Delta R \sim \frac{e^{-t}}{t^a}, \quad (0 \leq a \leq 3/2). \quad (38)$$

当我们画 $\ln \Delta R$ 对 t 的曲线而由其斜率求寿命时, 我們得到

$$\frac{d \ln \Delta R}{dt} = -1 - \frac{a}{t}. \quad (39)$$

如果假设 $a = \frac{1}{2}$, 而我們在相隔 2 倍寿命这样长的时间以后, 再观察数据 ($t = 2$), 則由斜率求得的寿命誤差不会超过 25%.

上面討論的只是单色光的情况. 如果我們所用的光源不是单色光, 而是許多不同波长光的迭加, 則經過类似的数学运算不难証明, ΔR 随时间的变化規律正好是相应于各种不同波长光所引起的效应的代数相加.

三、实验装置及设备

我們用的测量设备方框图如图 4 所示. 其中方形波发生器产生的方形波被微分后成为正負的两个尖脉冲. 用正脉冲触发高压脉冲发生器, 使閃光灯放电产生脉冲光. 用負脉冲触发另一脉冲发生器, 以产生测量用的脉冲. 在样品受到脉冲光照的同时, 另一参考

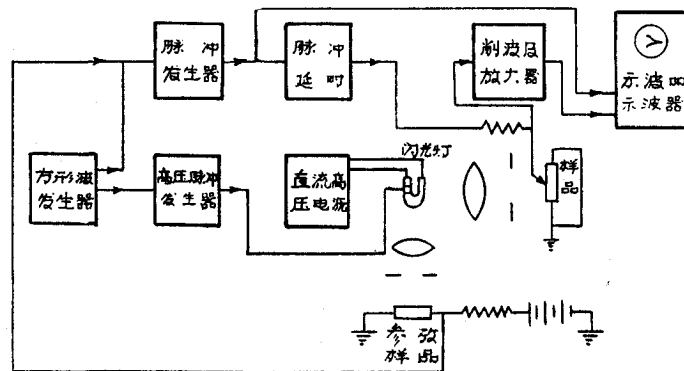


图 4

样品上也受到脉冲光的照射而产生负脉冲信号。这负脉冲的信号同时也被送到测量脉冲发生器的外触发输入端。这样，一方面在有光照时可以使测量脉冲与灯同步，另一方面在二次光照之间，靠方形波发生器的负脉冲将测量脉冲再触发一次。这样测量脉冲的重复频率较闪光灯的高一倍，因而在示波器上出现的图象有二条曲线：一条代表光照后的电导瞬变，一条代表光不照时测量脉冲加上后的电导瞬变。图 5 表示示波器上看到的实际图象。测量图象中两条曲线一端两个尖峰间的距离随延时的变化，就可以得到样品的少数载流子寿命。

四、实验结果

我们用这种方法测量了锗和硅中少数载流子的寿命。虽然在测量时的具体条件并不能严格符合于在理论分析中所提出的四种特殊情况，所用样品的尺寸一般较小，不能满足半无穷大的假设，但是从这些初步测量结果中，可以判断出本方法的大致准确度。图 6—9 表示在同一块锗片上，用不同条件测得的结果。图 6 中的样品表面是用 CP4 腐蚀过的，光源是用 0.8 毫米厚的锗片滤光的。这种情况下， $S_0 \approx 0.4$ ， $\alpha < 1$ ，得到的数据在图 6 中画成两条曲线，一条是按讯号电压 $\ln \Delta V$ 与时间 t 的关系画的，另一条是按 $\ln \sqrt{t} \Delta V$ 与 t 的关系画的。从

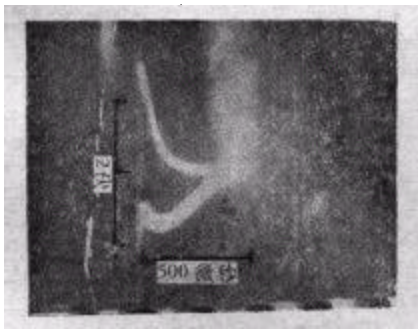


图 5 P 型硅 5600 欧姆厘米表面磨过
 $V_0 = 24$ 伏
延时 $t = 5$ 微秒

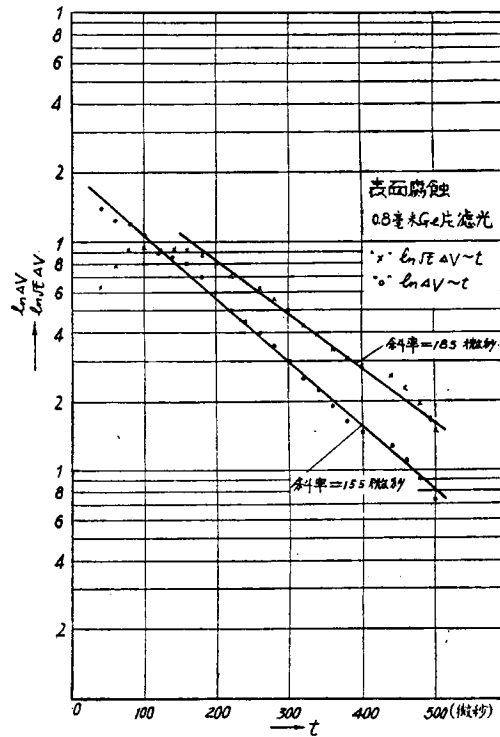


图 6

图中可以看到，前一条线比较接近于直线；由此得到的少数载流子寿命是 155 微秒。图 7 的表面腐蚀条件与图 6 的一样，但是光源用了 1 厘米厚的水来滤光，这时 $\alpha \approx 10 \sim 1000$ 。在图 7 中同样画了 $\ln \Delta V \sim t$ 和 $\ln \sqrt{t} \Delta V \sim t$ 的两条曲线，而前者比较接近于直线。由此得到的少数载流子寿命是 190 微秒。图 8 和图 9 是把样品表面用金刚砂磨过后测的，这时估计 $S_0 \approx 100$ 。图 8 中用的光源是加水的滤光片，而图 9 中的光源采用了闪光灯的白光，没有加任何滤光片。这两张图中的曲线都是按 $\ln \sqrt{t} \Delta V$ 与 t 的关系画的，由此而得的少数载流子寿命为 145 微秒和 140 微秒。

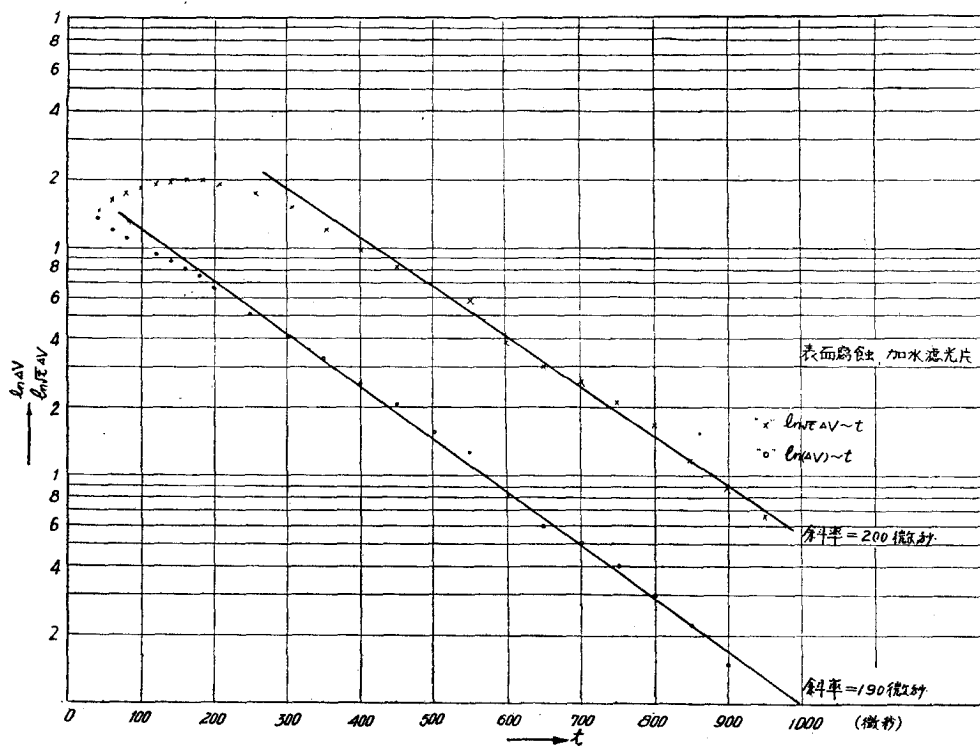


图 7

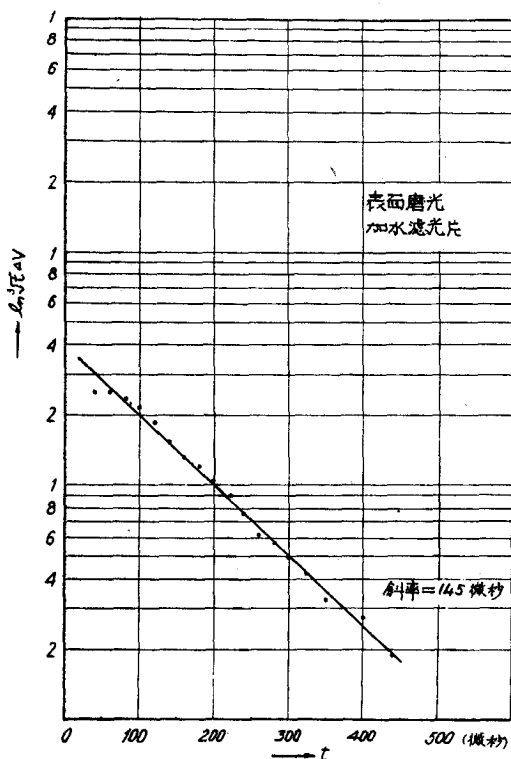


图 8

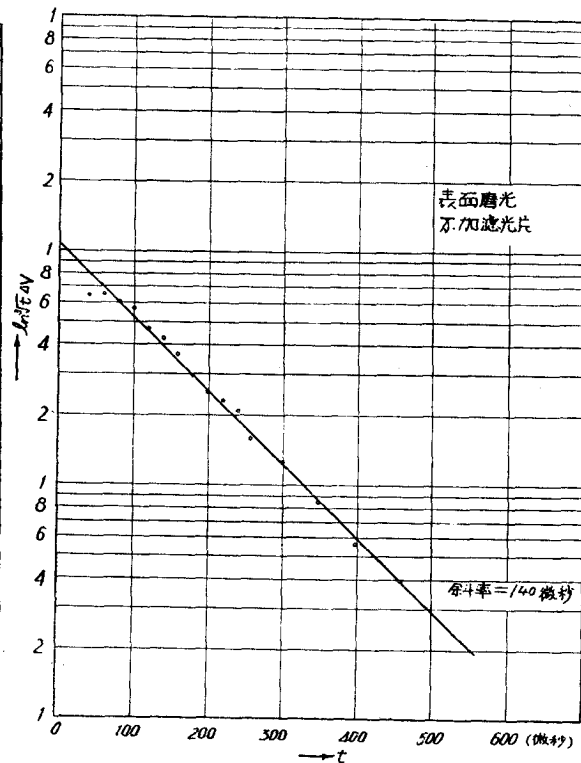


图 9

对硅中少数载流子寿命的测量, 我們以这种方法测得的结果与光电导衰退法和双脉冲法所得的结果作了比较(见表 4)。这些测量都是在腐蝕表面和白光下进行的, 从表内可以看到, 三种方法所测得的少数载流子寿命基本上是符合的。

表 4

测得寿命 (微秒)			测量方法		
样品			本文中所述的方法	光电导衰退法	双脉冲法
編号	导电类型	电阻率 (Ω cm)			
P-10	P	10	25—33	35±5	25
P-23	P	23	24	20±5	20
P 5600B	P	5600	180	160	160±20
P 5600C	P	5600	90—108	110	160
P 5600A	P	5600	180	180	180
N-5	N	5	22—29	55±10	30

为了进一步研究光源的波长, 强度对测量硅中少数载流子寿命的准确度的影响, 我們选用了两块电阻率为 5600 欧姆厘米的硅样品, 在不同光源条件下进行一系列的测量, 其结果分别列于表 5 和表 6 中。表 5 中所用样品的表面是用金刚砂磨过的 ($S_0 \approx 100$), 而表 6 中的是用 $\text{HF}:\text{HNO}_3 = 1:10$ 的腐蝕液腐蝕过的 ($S_0 \approx 1$)。

表 5

光源情况	α	测量脉冲高 V_0 (伏)	起始讯号 ΔV	$\frac{\Delta V}{V_0}$ (%)	测得的寿命 (微秒)
白光	0.01—10000	26	0.57	2.2	90
白光	0.01—10000	26	1.75	6.7	138
通过 1.5 厘米 2% CuCl_2 溶液	100—10000	26	0.8	3.1	108
同上	100—10000	26	1.7	6.5	132
通过 0.6 毫米厚的 Si 滤光片	<1.2	26	1.8	6.9	130

表 6

光源情况	α	测量脉冲高 V_0 (伏)	起始讯号 ΔV	$\frac{\Delta V}{V_0}$ (%)	测得的寿命 (微秒)
白光	0.01—10000	25	0.5	2.0	134
通过 1.5 厘米 2% CuCl_2 溶液	100—10000	25	0.58	2.3	92
通过 0.6 毫米厚的 Si 滤光片	<1.2	28	0.32	1.14	186±5

从表 5 中可以看到, 一般情况下, 起始讯号愈强, 也就是光注射的少数载流子愈多, 测得的寿命愈长。这可能是由于寿命随注入水平而变化的原因所引起的。表 6 中的情况正好相反, 尤其是用 CuCl_2 溶液滤波后的情况(表中第二项), 测得的寿命特别短。这种情况

的出現可能是由于样品的电阻率高,用表面吸收光去激发时,在表面复合速度不大的情况下,集中在表面附近的光生载流子严重地影响了样品电阻率的均匀性,使触針下的电压等位面不再是球面,因而不能滿足前面理論分析中的假設.在这种情况下,光生载流子从表面向内部的扩散使測得的寿命表現得很小.

五、討 論

我們实际測量中所用的光源都不是单色光,为了要比較光源中不同波长的光成分所起作用的大小,我們先看一下,在前面分析的特殊情况下,訊号与光强的关系.从(16)、(25)、(33)和(37)式經過整理,我們可得

$$\left| \frac{\Delta R}{R_0} \right| = A \alpha e^{-t}, \quad (S_0 \rightarrow 0, \alpha \rightarrow 0), \quad (40)$$

$$\left| \frac{\Delta R}{R_0} \right| = A \frac{1}{\sqrt{\pi}} \frac{e^{-t}}{\sqrt{t}}, \quad (S_0 \rightarrow 0, \alpha \gg 1), \quad (41)$$

$$\left| \frac{\Delta R}{R_0} \right| = A \alpha \left\{ \left(\frac{\rho}{4\sqrt{\pi}} \ln \frac{4e^3}{\gamma \rho^2} \right) \frac{1}{\sqrt[3]{t}} + \frac{1}{S_0 \sqrt{\pi}} \frac{1}{\sqrt{t}} \right\} e^{-t}, \quad (S_0 \gg 1, \alpha \rightarrow 0), \quad (42)$$

$$\left| \frac{\Delta R}{R_0} \right| = A \frac{\alpha + S_0}{2\sqrt{\pi} \alpha S_0^2} \frac{e^{-t}}{t^{3/2}}, \quad (S_0 \gg 1, \alpha \gg 1), \quad (43)$$

其中

$$A = (1 + b) \frac{\beta}{\rho_0 L} N, \quad (44)$$

$R_0 = \frac{1}{2\pi\sigma_0 L \rho}$ 是无光照时触針下的分布电阻,

$b = \mu_n / \mu_p$ 为电子和空穴迁移率之比,

N 为脉冲光照期間单位面积上样品所吸收的总光子数.

在(42)式中,如果假設 $\rho = 0.1$ (这符合实际測試情况),則花括弧内的前一項比后一項大得多.因此可以忽略后一項而得到

$$\left| \frac{\Delta R}{R_0} \right| = A (0.118\alpha) \frac{e^{-t}}{\sqrt[3]{t}}, \quad \left(\begin{array}{l} S_0 \gg 1, \alpha \rightarrow 0 \\ \rho = 0.1 \end{array} \right). \quad (45)$$

再看第四种情况的(43)式,由于在实际測量中 α 可以达到一万的数量級,而 S_0 大約是一百的数量級,我們忽略(43)式右边第二个因子的分子中的 S_0 , 得到

$$\left| \frac{\Delta R}{R_0} \right| = A \frac{1}{2\sqrt{\pi} S_0^2} \frac{e^{-t}}{t^{3/2}}, \quad (\alpha \gg S_0 \gg 1). \quad (46)$$

現在我們比較(40)、(41)、(45)、(46)四个式子.首先假定 β 不随波长而变,那末 A 就直接正比于吸收的总光子数.从这四个式子可以看到,在同样条件下,表面磨过的样品的訊号要比表面腐蝕好的小得多;尤其是用表面吸收光照射时,两者要相差上万倍,这也就是說第四种情况实际上很难观察到訊号.当光源中含有不同波长成分的光时,如果 $S_0 \rightarrow 0$,那末长波部分光所引起的訊号正比于 α ,而短波部分光所引起的訊号則与 α 无关.由于我們在实际測量中所用的长波部分光的 α 約是 1 的数量級;同时可以假定对这种光來說,(40)

式仍旧适用(見第二节討論中的(23)式), 那末这长波部分光对訊号所起的作用将与短波部分光所起的作用同一个数量級. 图 6 甚至图 7 中的情况可能都属于这种类型.

現在考虑表面磨过的样品, 当光源中含有不同波长成分的光时, 从(45)、(46)式中可以看到, 只要长波部分光的 α 不太小, 短波部分光在訊号中所起的作用总是可以被忽略掉的, 也就是說我們不会观察到正比于 $e^{-t}/t^{3/2}$ 的衰減. 这可能說明了图 8 和图 9 中的情况.

在大部分半导体材料中, 少数载流子的寿命会随注入水平的增高而起变化. 因此, 在檢定半导体材料的寿命时, 应该在很小的注入水平下来测量, 但是注入水平减小会使訊号变小, 准确度降低, 所以我們需要討論在不同条件下訊号与注入水平的关系. 令 n_0 代表在表面上 ($\xi = 0$) 当脉冲光照过后 ($t = 0$) 少数载流子的浓度, 則从(9)式得 $n_0 = F_0$, 以这个关系代入(16)、(25)、(33)和(37)式, 并經過整理得

$$\left. \frac{\Delta R}{R_0} \right|_{t=1} = (1+b) \frac{n_0}{p_0}, \quad (S_0 \rightarrow 0, \alpha \rightarrow 0), \quad (47)$$

$$\left. \frac{\Delta R}{R_0} \right|_{t=1} = (1+b) \left(\frac{1}{\sqrt{\pi \alpha}} \right) \frac{n_0}{p_0}, \quad (S_0 \rightarrow 0, \alpha \gg 1), \quad (48)$$

$$\left. \frac{\Delta R}{R_0} \right|_{t=1} = 0.118(1+b) \frac{n_0}{p_0}, \quad \left(\begin{array}{l} S_0 \gg 1, \alpha \rightarrow 0 \\ \rho = 0.1 \end{array} \right), \quad (49)$$

$$\left. \frac{\Delta R}{R_0} \right|_{t=1} = (1+b) \left(\frac{1}{2\sqrt{\pi \alpha S_0^2}} \right) \frac{n_0}{p_0}, \quad (\alpha \gg S_0 \gg 1). \quad (50)$$

从上面四个式子可以看出, 如果使注入水平 n_0/p_0 保持一定数值, 則第一种情况訊号最大, 第三种情况次之, 第二和第四种情况的訊号就要小很多. 因此, 我們建議在实际测量中应该尽可能采用第一或第三种情况. 如果样品表面是磨过的, 由于短波长的表面吸收光在磨过表面的样品上所引起的訊号非常小, 所以可以用白光来测. 总起来說, 我們建議的两种測量条件是:

1. 表面腐蝕, 用相当于扩散长度厚的半导体材料作为滤光片以保証 $\alpha < 1$.
2. 表面磨过, 用白光照.

后一种条件下的測量数据应该按 $\ln \sqrt[3]{t} \Delta V \sim t$ 的斜率来計算寿命.

上述两种測量条件之所以合适, 从另一个角度看, 是因为他們在样品中激发的少数载流子比較均匀. 第(1)种条件用长波貫穿光激发, 少数载流子的分布当然比較均匀; 第(2)种条件虽然用白光激发, 但是由于表面复合速度大, 短波表面吸收光在表面附近所激发的少数载流子, 很快在表面上复合掉了, 因此少数载流子的分布还是比較均匀的.

为了减少誤差, 数据应该在离脉冲光照后 2τ 至 3τ 时測量.

結 論

用触針下分布电阻的光电导衰退来測量少数载流子寿命的方法, 是适合于材料的經常性檢驗用的, 它的主要优点是:

- (一) 样品不需要切成一定形状;
- (二) 在样品上不需要做固定电极;
- (三) 可以檢驗不均匀的材料;

(四)不需要一定的表面处理;

(五)仪器简单,操作方便;

(六)有一定的准确度.

用这种方法测量锗和硅中少数载流子的寿命都可以得到满意的结果. 测得的硅中少数载流子的寿命基本上和用其他方法测得的结果符合.

最后,本文中的实验部分是由庄蔚华、潘贵生、陈子乐、周汝生等几位同志帮助进行的,数字计算方面得到刘东源、弓继书两位同志的帮助,作者特向他们志谢.

参 考 文 献

- [1] Концевой, Ю. А., Иглицын, М. И., *ФТТ.*, **3** (1961), 1465.
- [2] Garreta, O. & Grosvalet, J., *Progress in Semiconductors*, **1** (1956), 165.
- [3] Goucher, F. S., *Phys. Rev.*, **81** (1951), 475.
- [4] Богданов, С. В., Копыловский, Б. Д., *ФТТ.*, **3** (1961), 926.
- [5] Ridley, V. K., *J. Electronics & Control*, **5** (1958), 549.
- [6] Иглицын, М. И., Концевой, Ю. А., Кудин, В. Д., Мейер, А. А., *ЖТФ.*, **27** (1957), 1414.
- [7] Navon, D., Gray, R., Fan, H. Y., *Proc. IRE.*, **40** (1952), 1342.
- [8] Many, A., *Proc. Phys. Soc., B*, **67** (1954), 9.

THE MEASUREMENT OF THE LIFE TIME OF MINORITY CURRENT CARRIERS IN SEMICONDUCTORS BY OBSERVING THE PHOTO-CONDUCTIVE DECAY OF THE SPREADING RESISTANCE UNDER A POINT CONTACT

WANG SHOU-WU

ABSTRACT

A new method for measuring the life time of minority current carriers in semiconductors is described. Measurements are made by observing the photoconductive decay of the spreading resistance under a point contact. This method possesses the following advantages: (1) It is not necessary to cut the specimen into special form. (2) No fixed electrode has to be made to the specimen. (3) It is applicable to test inhomogeneous specimen. (4) No particular surface treatment is necessary. (5) Apparatus used is simple and easy to operate. (6) Enough accuracy is obtainable. A theoretical analysis is given of the effects of surface recombination velocity and of varying absorption depth of the light in specimen. Experimental details and discussions are given for Ge and Si specimens. Results are in agreement with those obtained by other methods.